

APPENDICE A

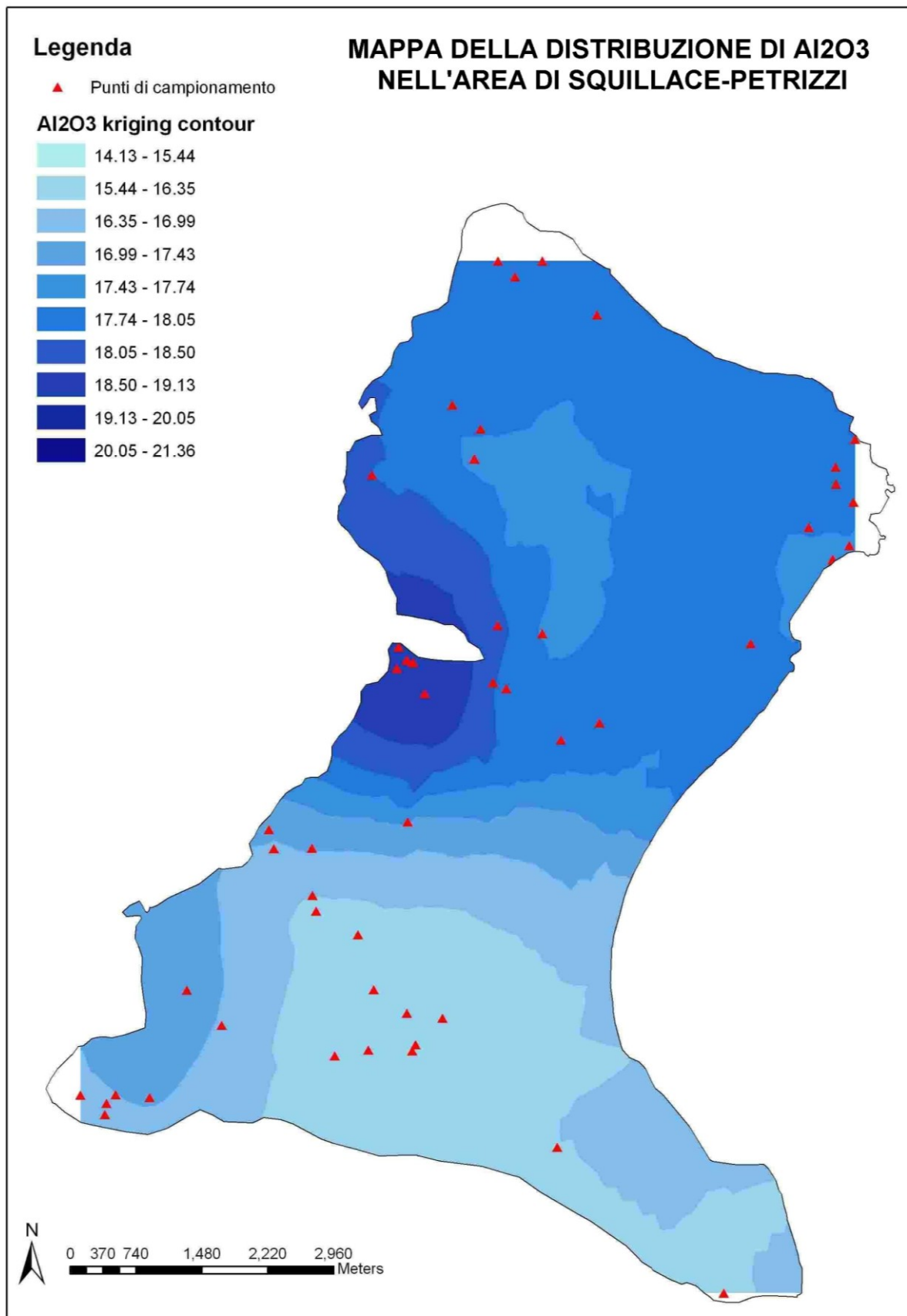


Tavola 1 - Prediction map relativa a Al₂O₃ (scala 1:55.000)

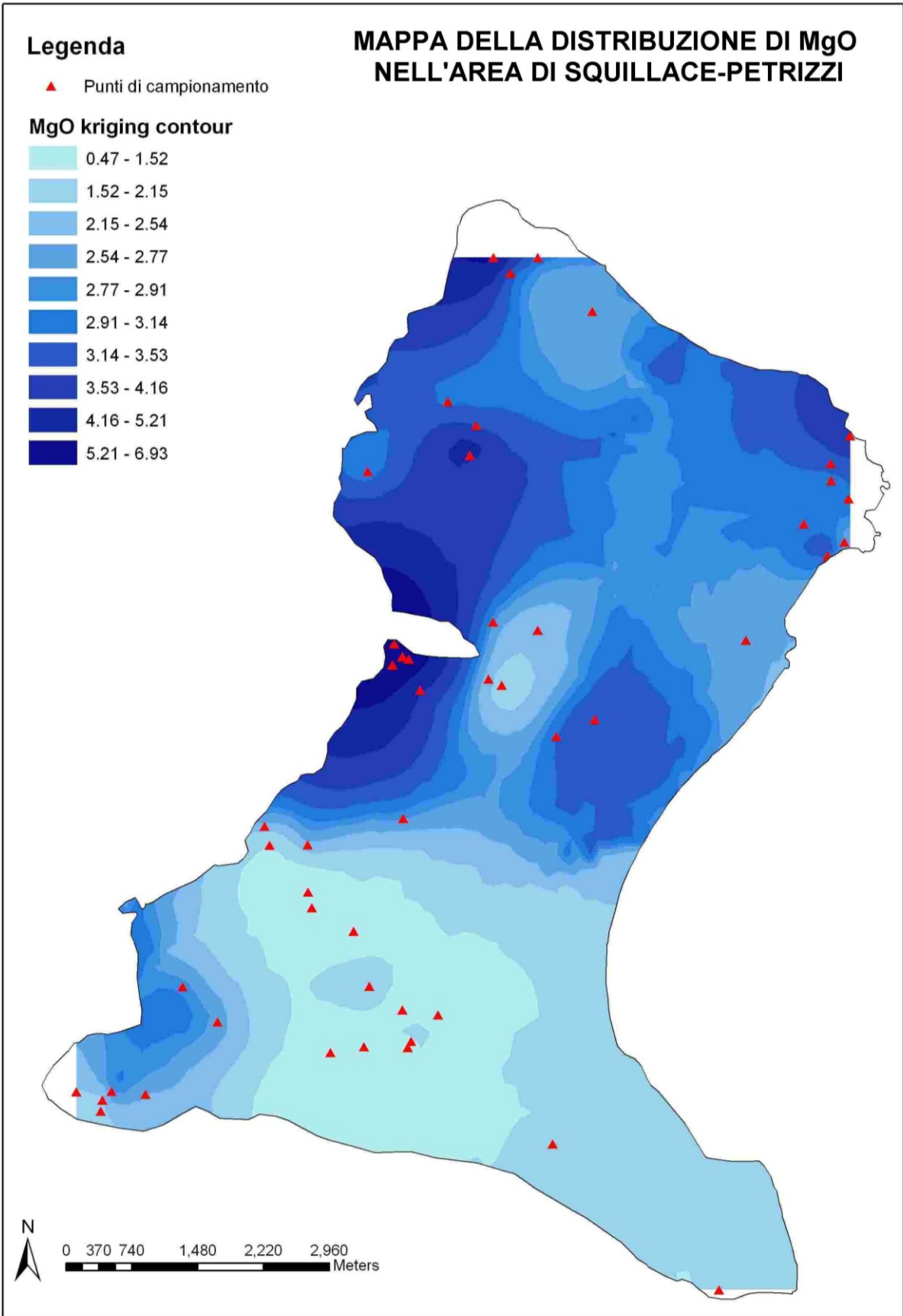
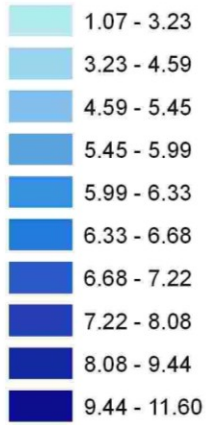


Tavola 2 - Prediction map relativa a MgO (scala 1:55.000)

Legenda

▲ Punti di campionamento

FeOt kriging contour



**MAPPA DELLA DISTRIBUZIONE DI FeOt
NELL'AREA DI SQUILLACE-PETRIZZI**

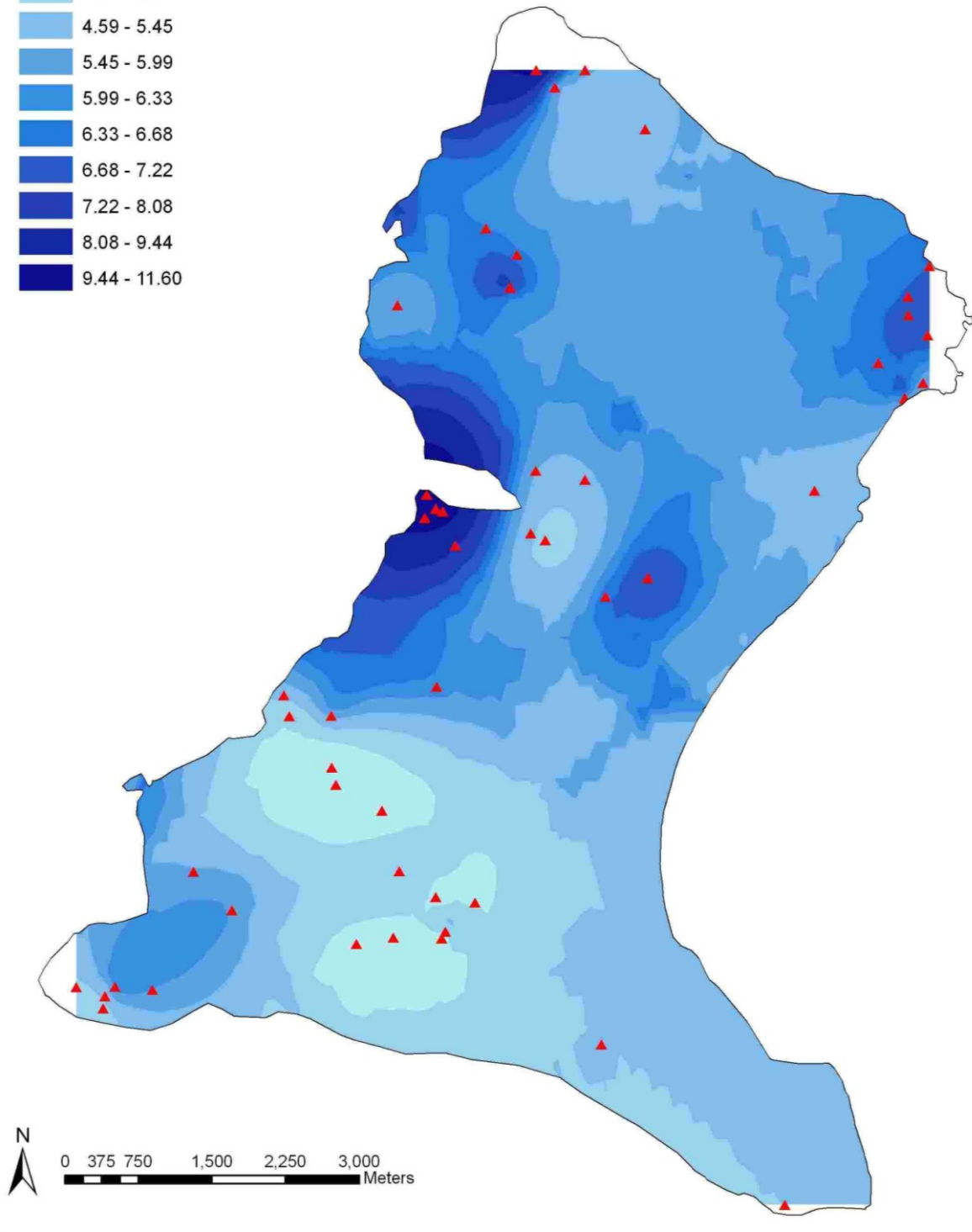


Tavola 3 - Prediction map relativa a FeOt (scala 1:55.000)

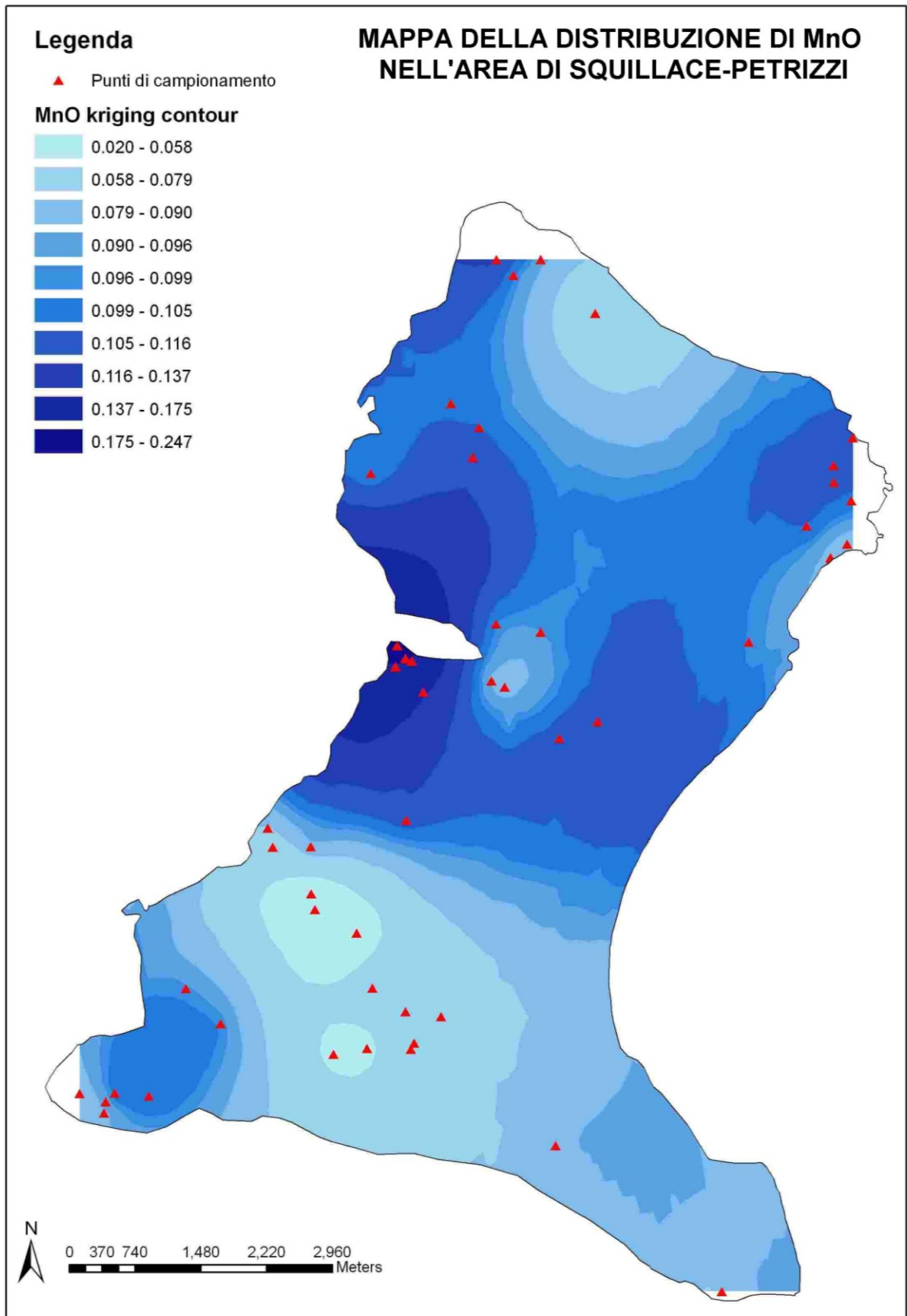


Tavola 4 - Prediction map relativa a MnO (scala 1:55.000)

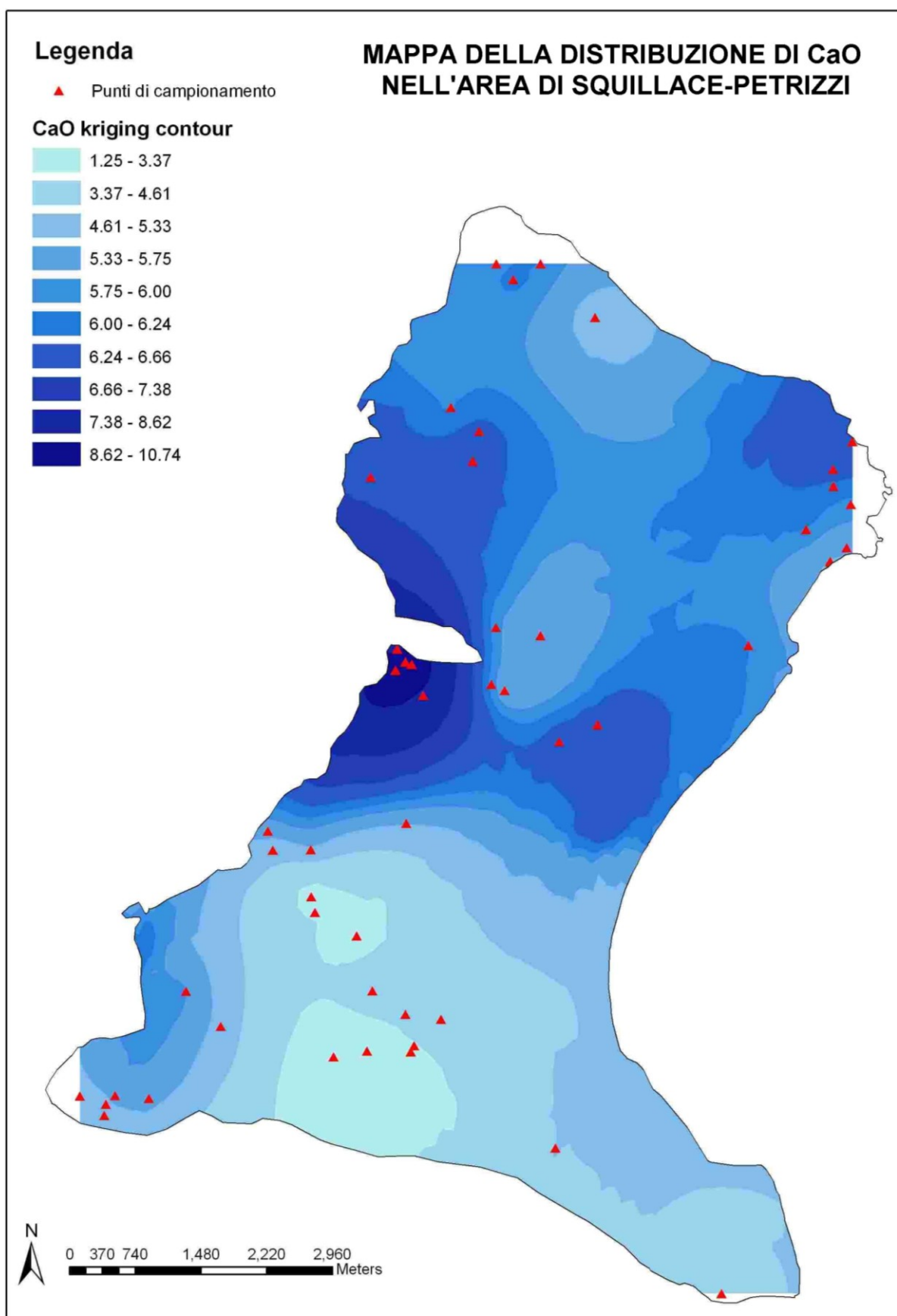


Tavola 5 - Prediction map relativa a CaO (scala 1:55.000)

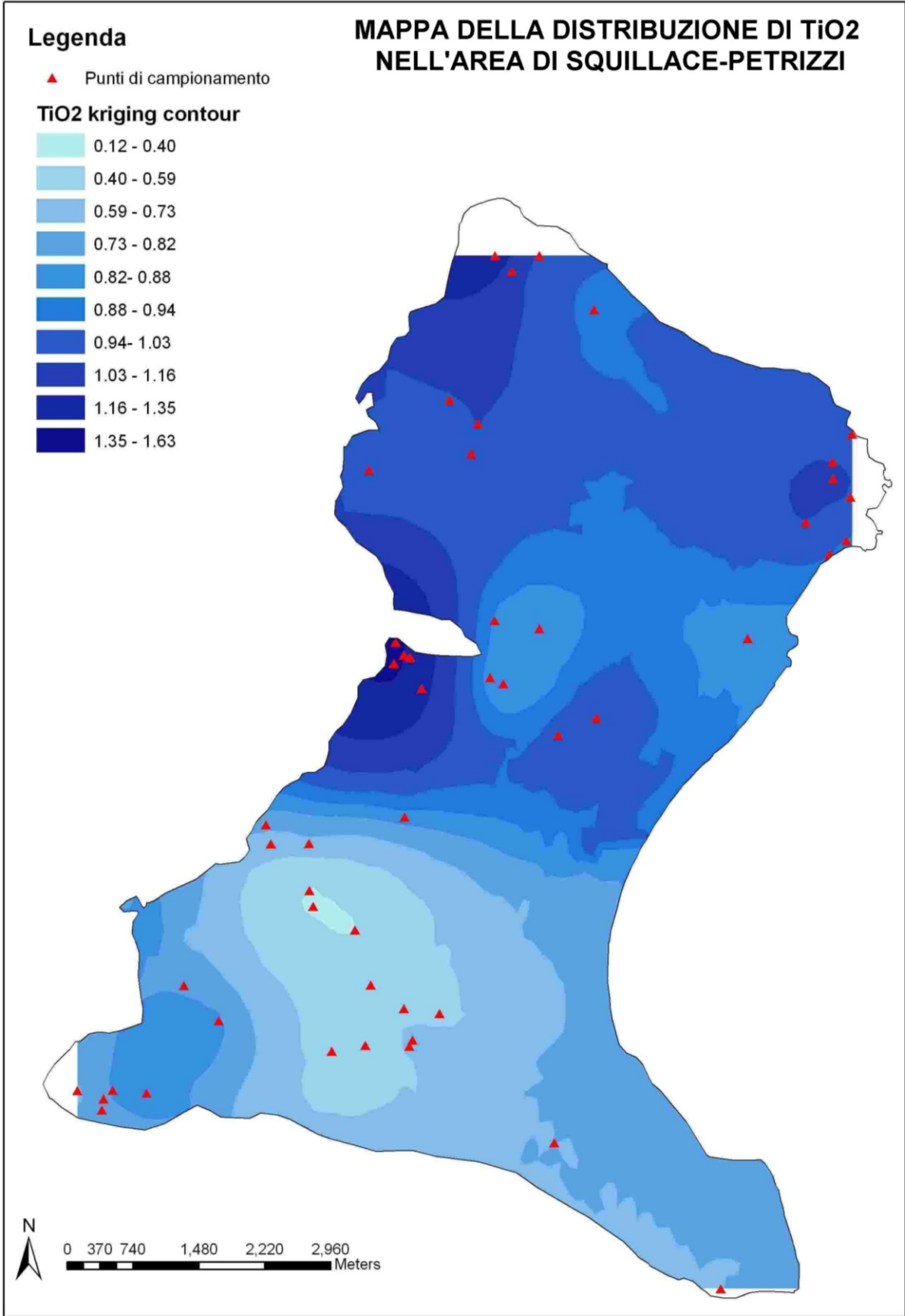
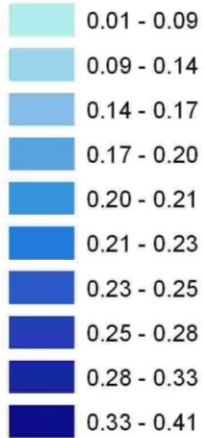


Tavola 6 - Prediction map relativa a TiO2 (scala 1:55.000)

Legenda

▲ Punti di campionamento

P2O5 kriging contour



MAPPA DELLA DISTRIBUZIONE DI P2O5 NELL'AREA DI SQUILLACE-PETRIZZI

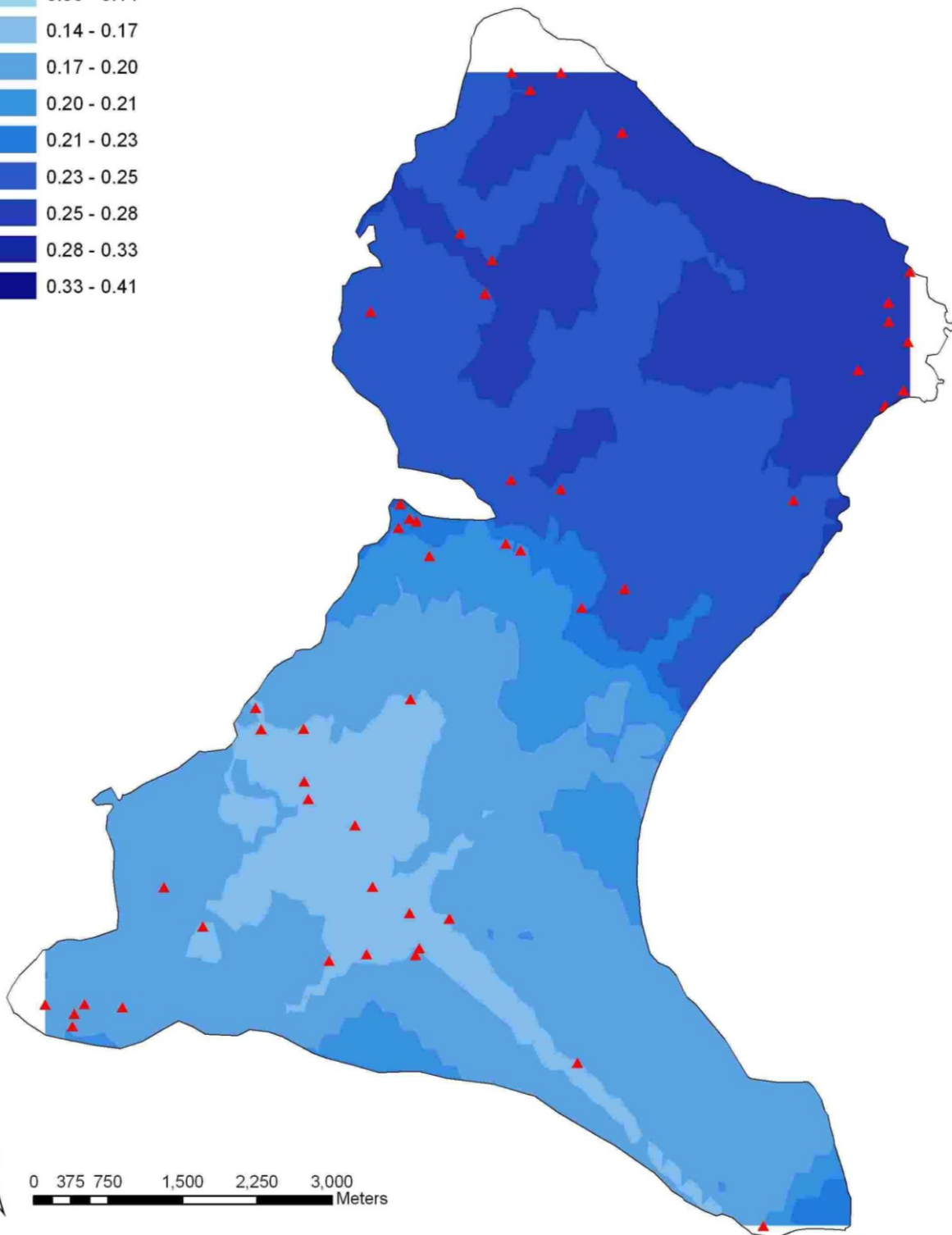


Tavola 7 - Prediction map relativa a P2O5 (scala 1:55.000)

Legenda

▲ Punti di campionamento

Ba kriging contour

332.00 - 532.97
532.97 - 654.90
654.90 - 728.88
728.88 - 773.76
773.76 - 801.00
801.00 - 845.88
845.88 - 919.86
919.86 - 1,041.79
1,041.79 - 1,242.76
1,242.76 - 1,574.00

MAPPA DELLA DISTRIBUZIONE DI Ba NELL'AREA DI SQUILLACE-PETRIZZI

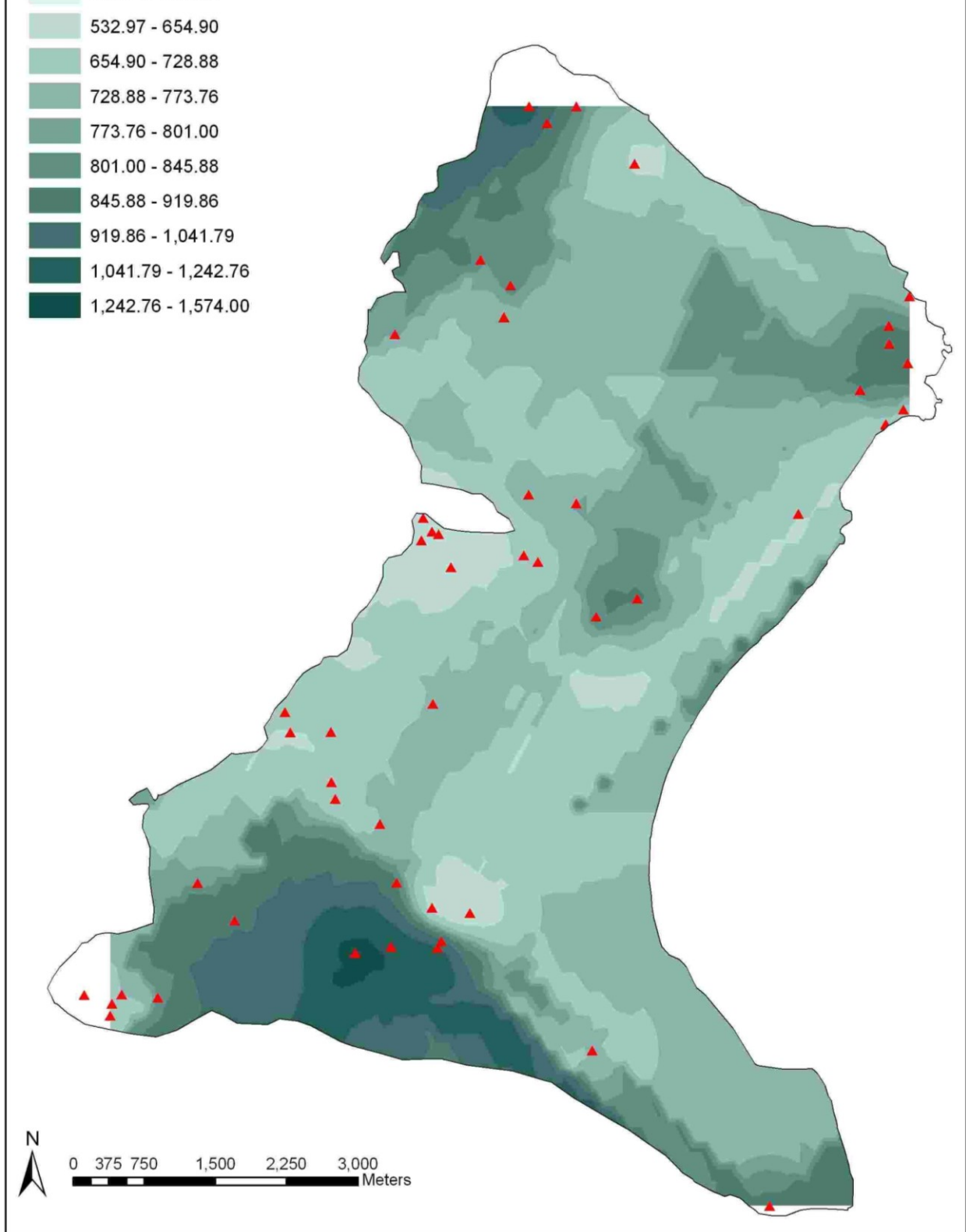
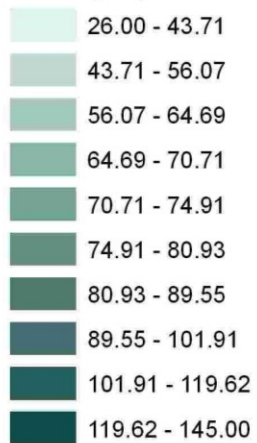


Tavola 8 - Prediction map relativa al Ba (scala 1:55.000)

Legenda

▲ Punti di campionamento

Rb kriging contour



MAPPA DELLA DISTRIBUZIONE DI Rb NELL'AREA DI SQUILLACE-PETRIZZI

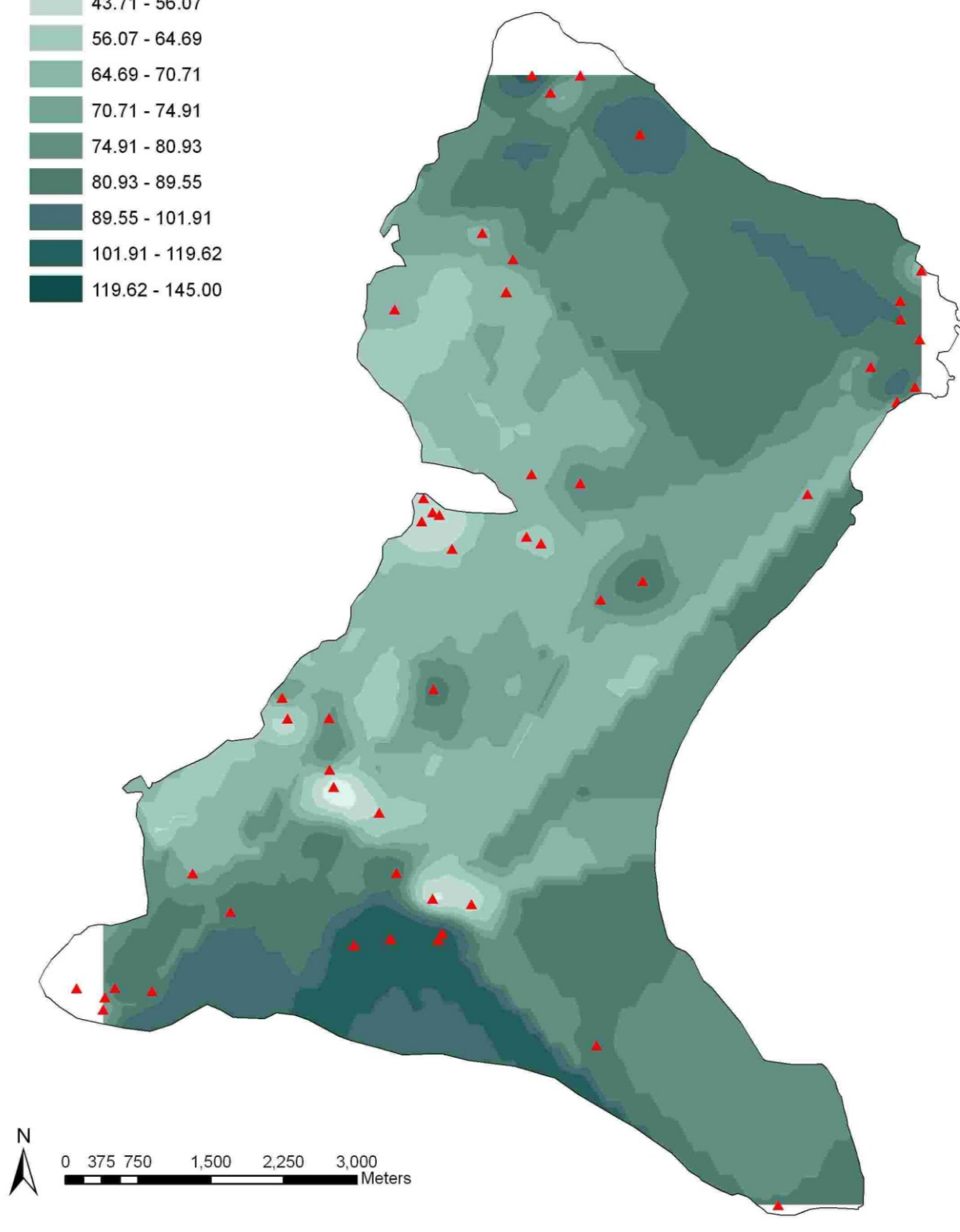
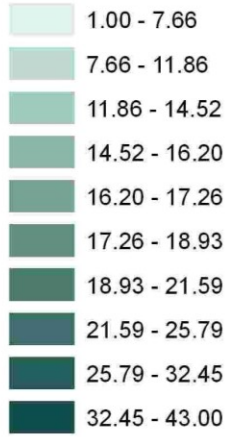


Tavola 9 - Prediction map relativa al Rb (scala 1:55.000)

Legenda

▲ Punti di campionamento

Cr kriging contour



MAPPA DELLA DISTRIBUZIONE DI Cr NELL'AREA DI SQUILLACE-PETRIZZI

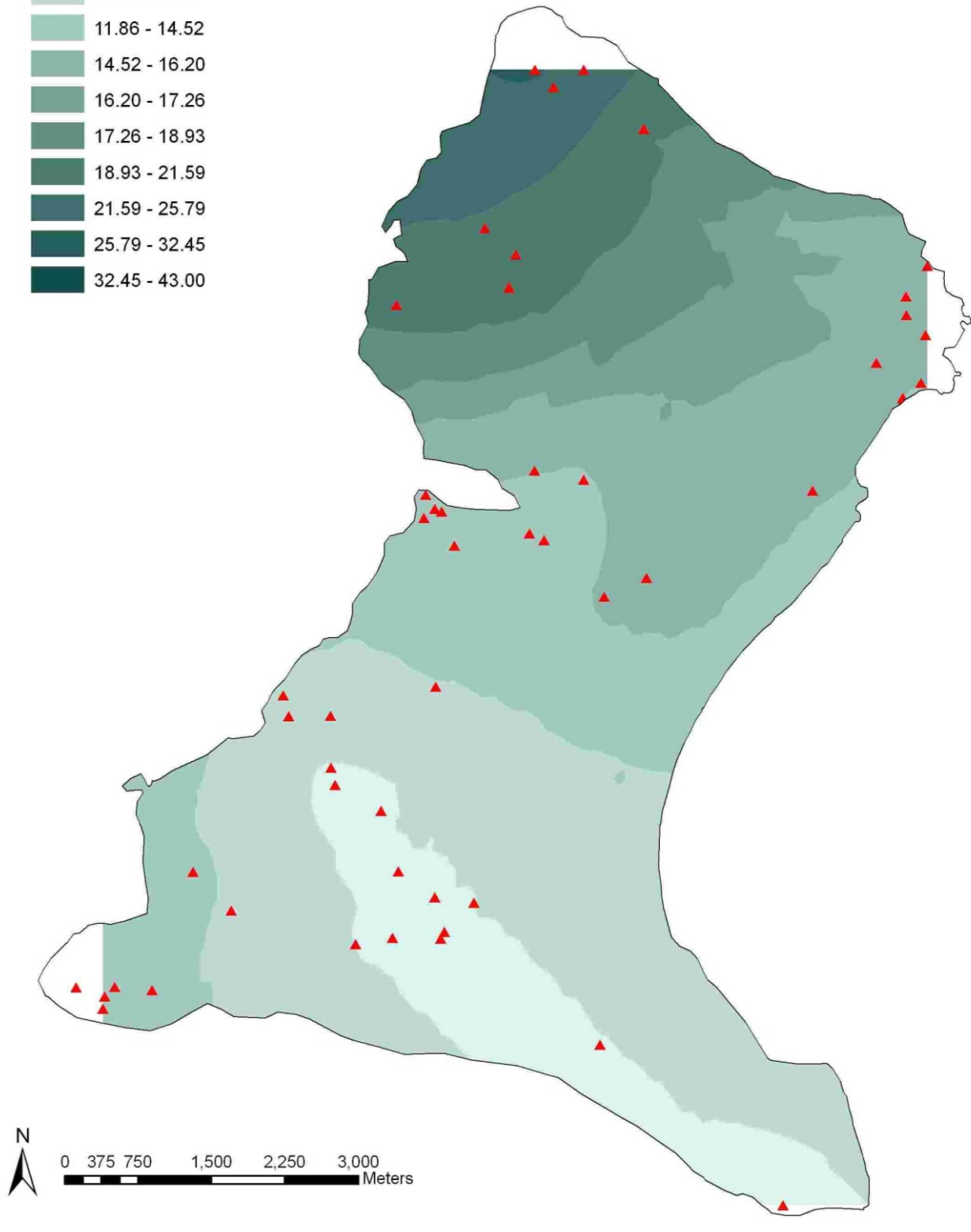
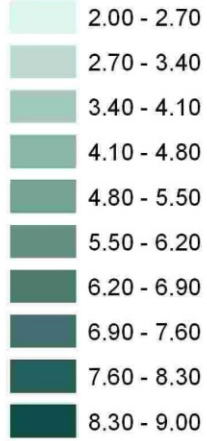


Tavola 10 - Prediction map relativa al Cr (scala 1:55.000)

Legenda

▲ Punti di campionamento

Ni kriging contour



MAPPA DELLA DISTRIBUZIONE DI Ni NELL'AREA DI SQUILLACE-PETRIZZI

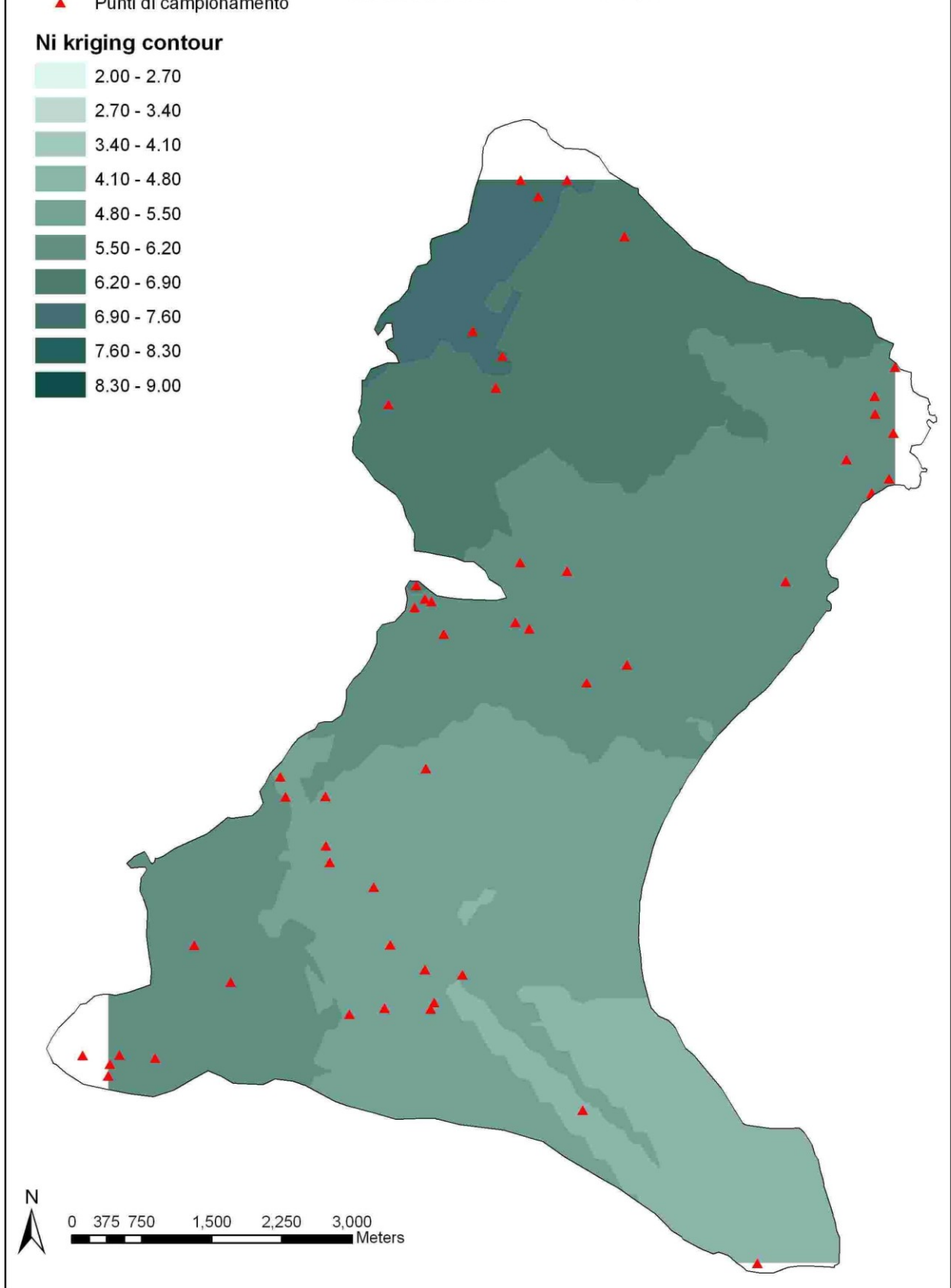


Tavola 11 - Prediction map relativa al Ni (scala 1:55.000)

MAPPA DELLA DISTRIBUZIONE DI Sr NELL'AREA DI SQUILLACE-PETRIZZI

Legenda

▲ Punti di campionamento

Sr kriging contour

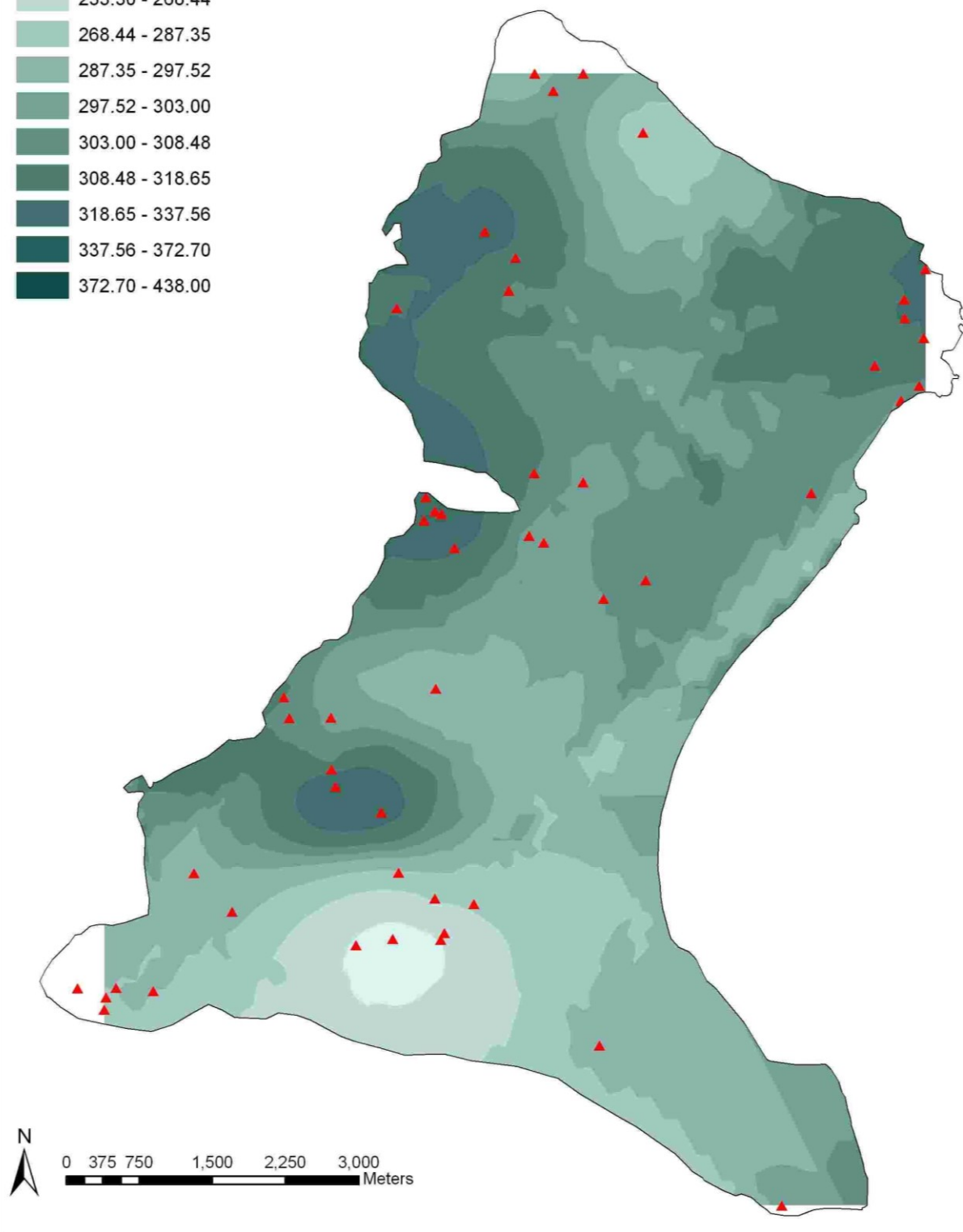
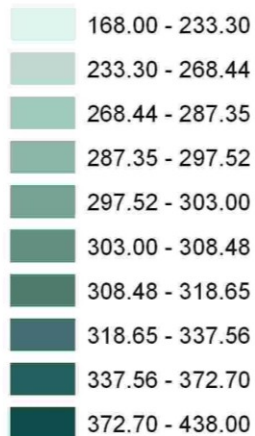


Tavola 12 - Prediction map relativa allo Sr (scala 1:55.000)

MAPPA DELLA DISTRIBUZIONE DI V NELL'AREA DI SQUILLACE-PETRIZZI

Legenda

▲ Punti di campionamento

V kriging contour

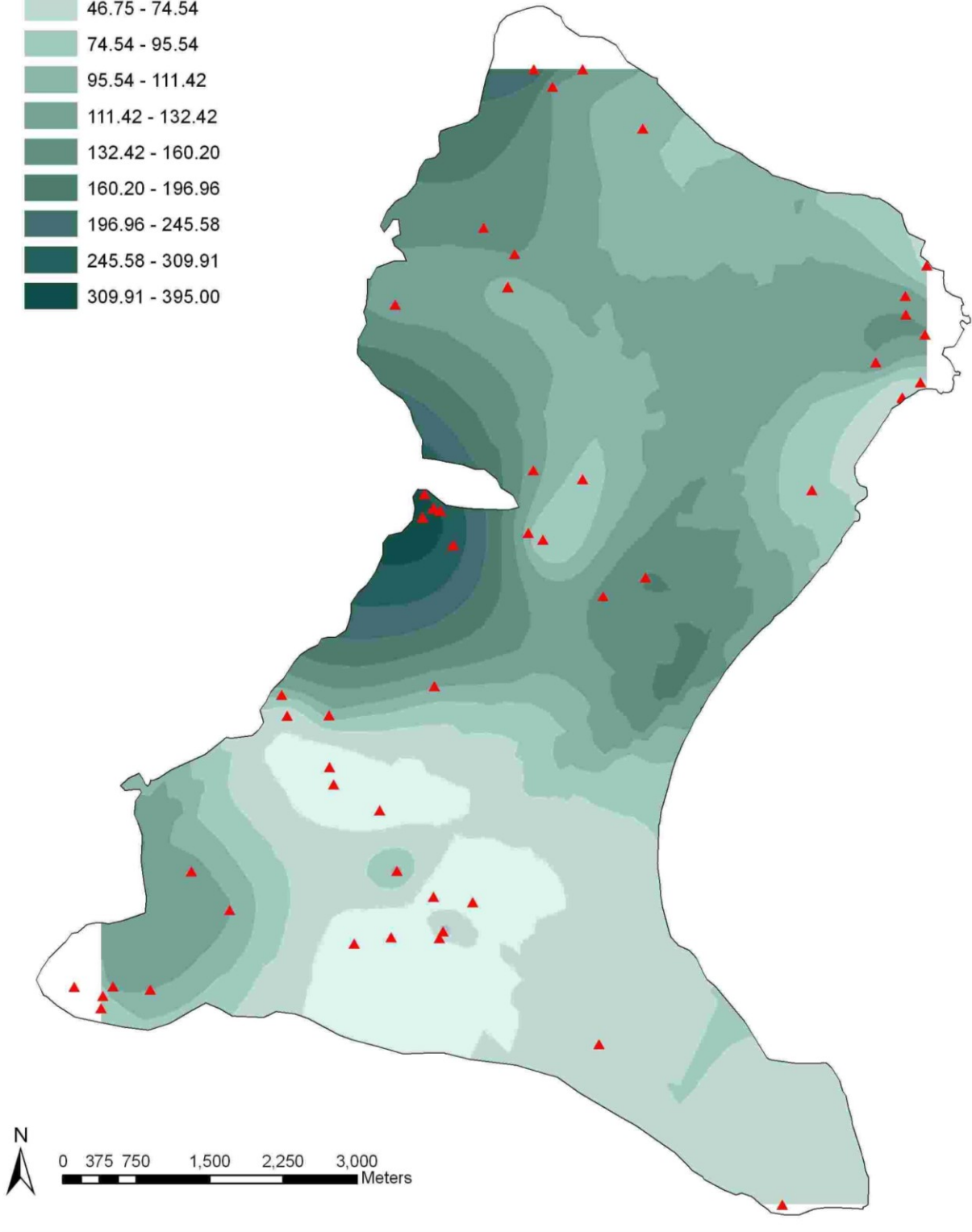
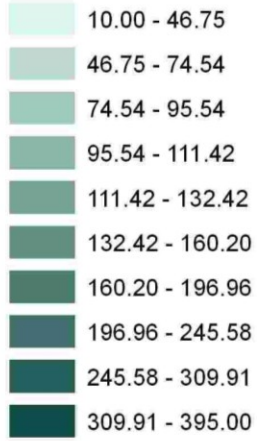
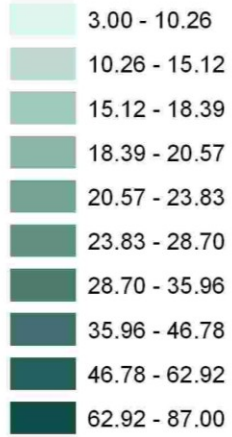


Tavola 13 - Prediction map relativa al V (scala 1.55.000)

Legenda

▲ Punti di campionamento

Y kriging contour



MAPPA DELLA DISTRIBUZIONE DI Y NELL'AREA DI SQUILLACE-PETRIZZI

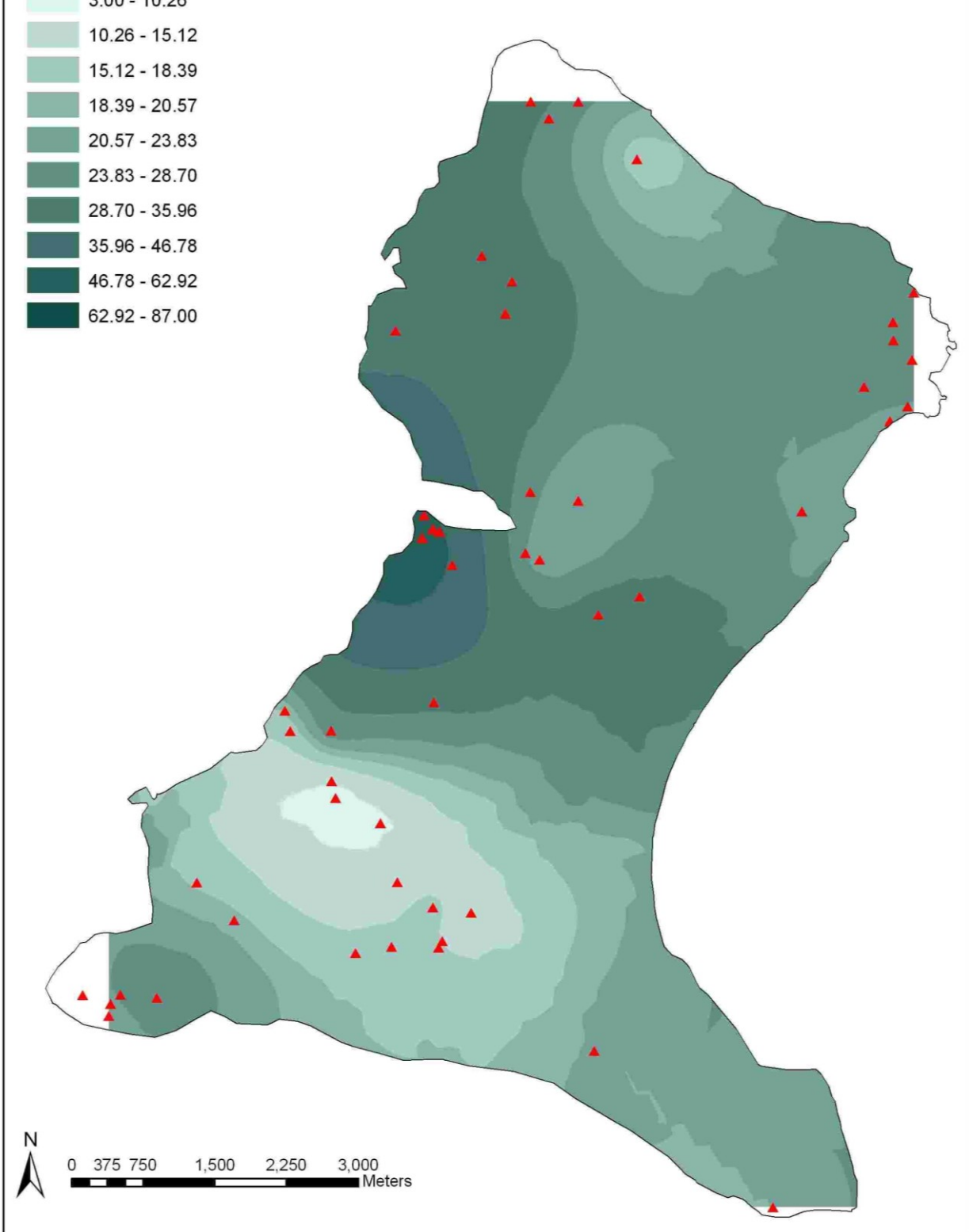


Tavola 14 - Prediction map relativa all'Y (scala 1:55.000)

Legenda

▲ Punti di campionamento

Zr kriging contour

44.00 - 94.76
94.76 - 129.47
129.47 - 153.22
153.22 - 169.47
169.47 - 180.58
180.58 - 188.18
188.18 - 199.29
199.29 - 215.53
215.53 - 239.28
239.28 - 274.00

MAPPA DELLA DISTRIBUZIONE DI Zr NELL'AREA DI SQUILLACE-PETRIZZI

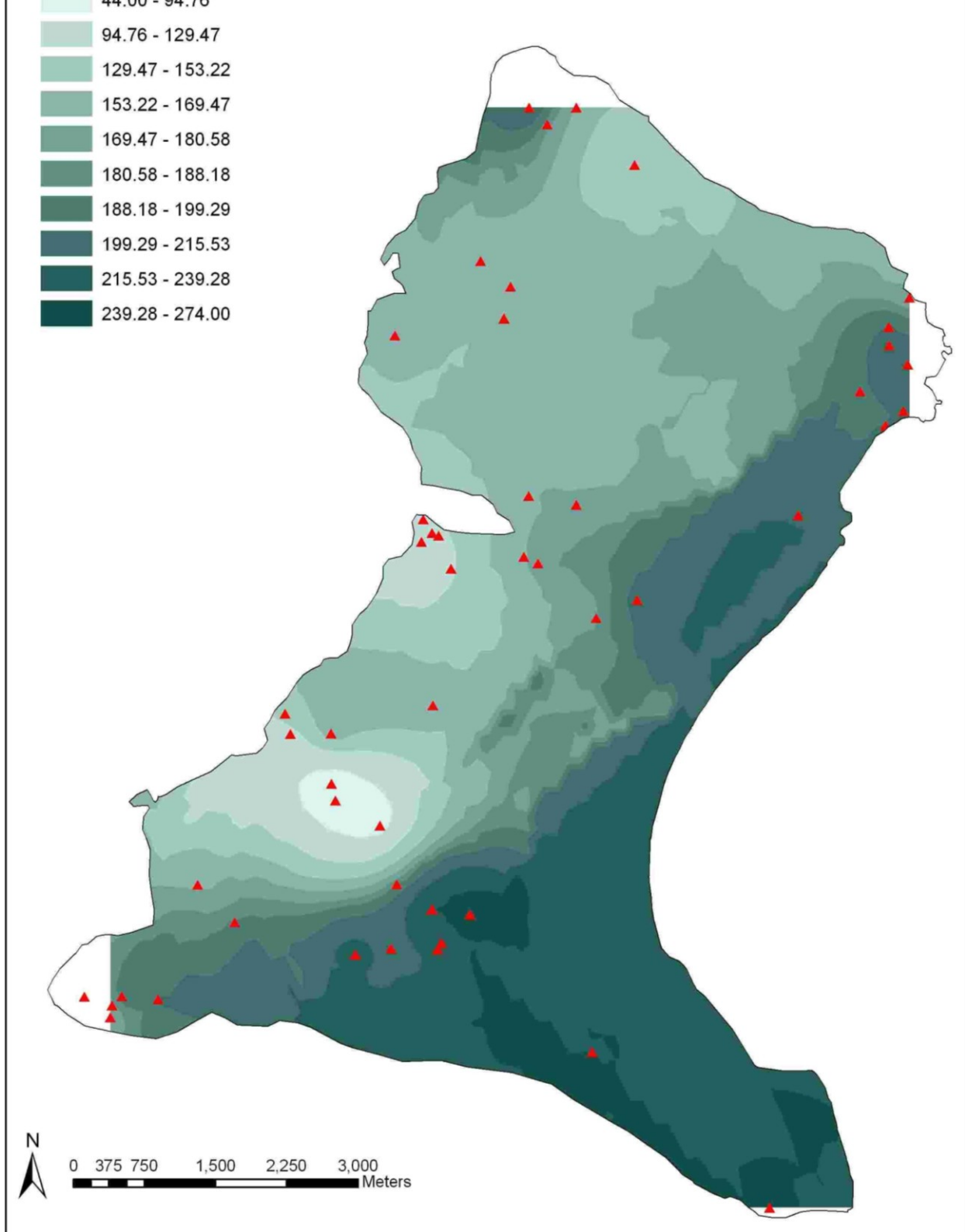
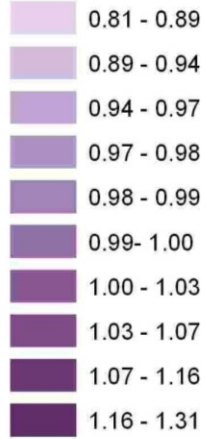


Tavola 15 - Prediction map relativa allo Zr (scala 1:55.000)

Legenda

▲ Punti di campionamento

ASI kriging contour



MAPPA DELLA DISTRIBUZIONE DELL'ASI NELL'AREA DI SQUILLACE-PETRIZZI

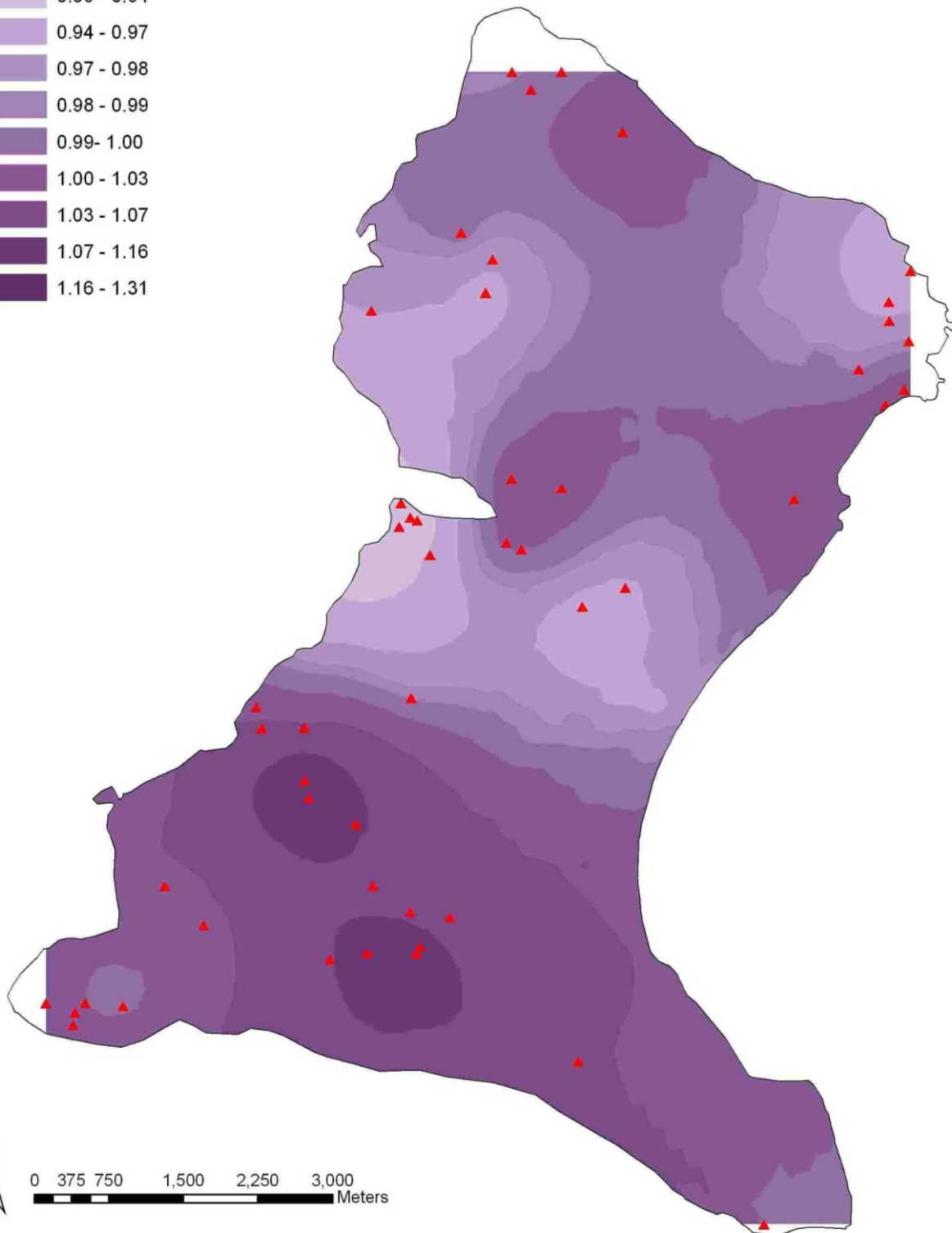
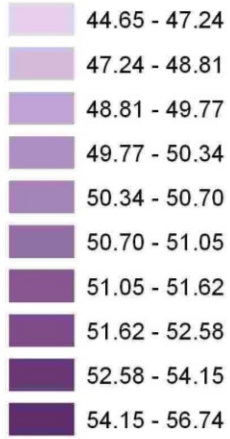


Tavola 16 - Prediction map relativa all'ASI (scala 1:55.000)

Legenda

▲ Punti di campionamento

CIA kriging contour



MAPPA DELLA DISTRIBUZIONE DEL CIA NELL'AREA DI SQUILLACE-PETRIZZI

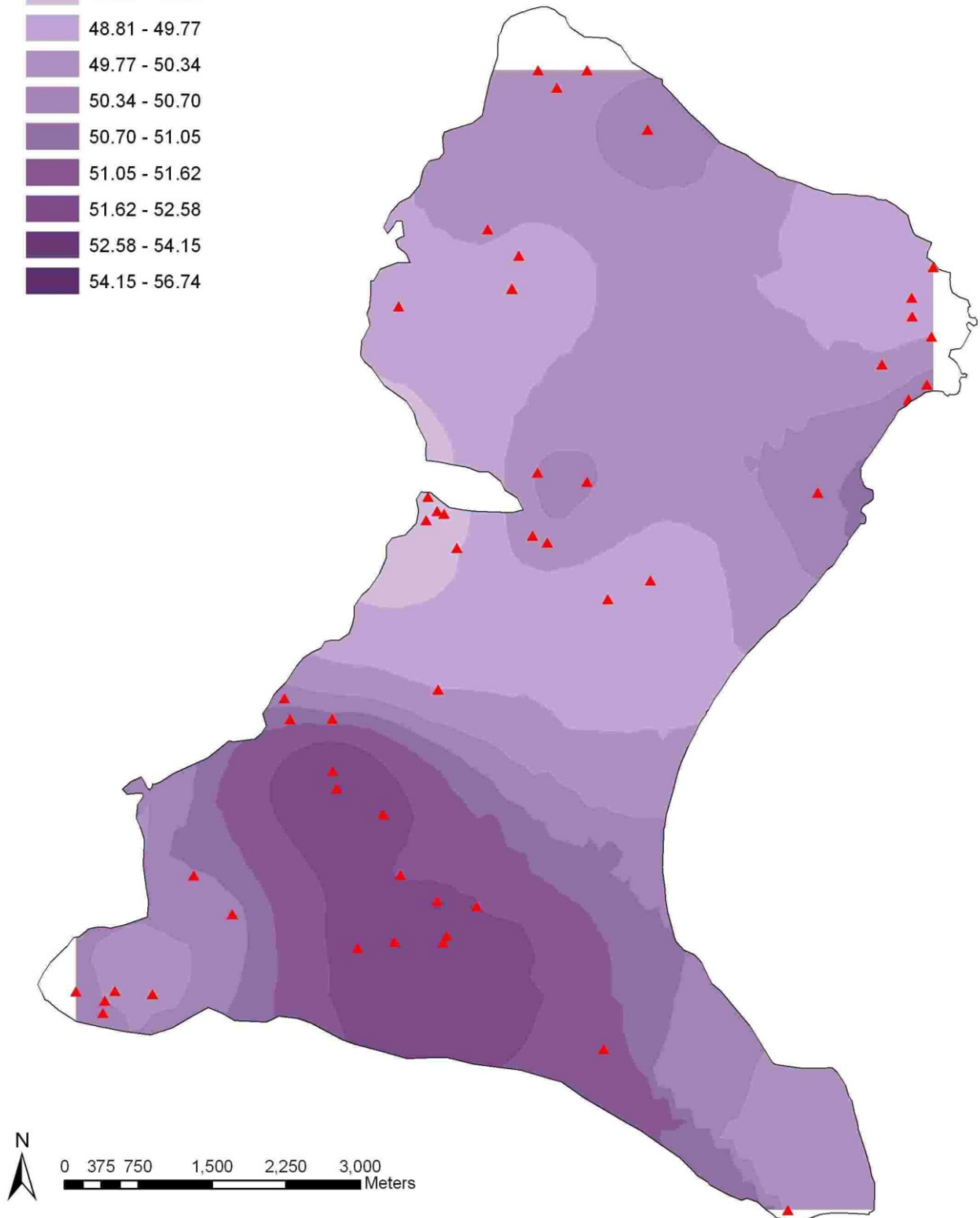


Tavola 17 - Prediction map relativa al CIA (scala 1:55.000)